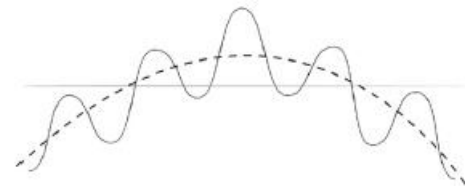
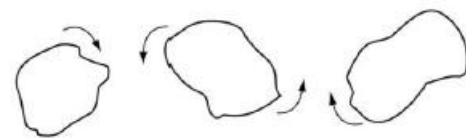


## 4.3 本群星系的形成

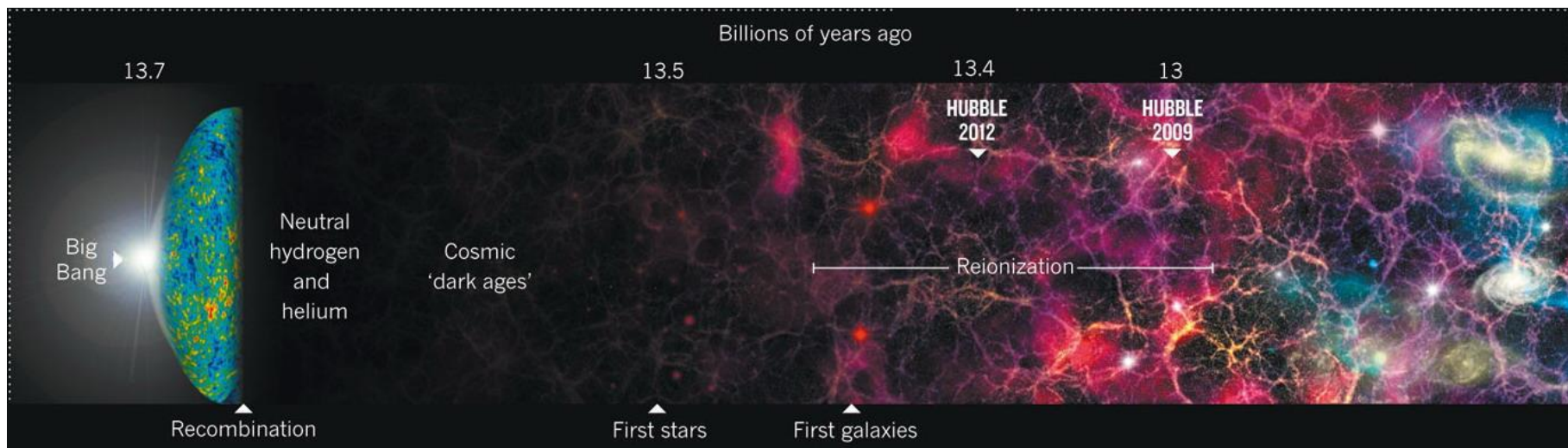
- 宇宙膨胀温度降低,  $T \sim 350000$  yrs, 光子能量不能电离氢和氦: 质子和电子结合成中性原子, 光子可自由传播: **宇宙透明**
- 气体不再受到**光子压**支持: 高密区引力大, 导致向内塌缩: 中心附近的团块相互吸引, **并合成大星系**; 靠外团块则可能变成较小的伴星系 (**原初星系**)
- 早期宇宙小, 原初星系彼此靠近, 原星系的引力相互拉拽: **潮汐矩**会拉着原星系慢慢转动起来
- 原星系内气体云彼此碰撞, 它们会失去其部分能量而**内落**; 因**角动量守恒**, 原星系的旋转逐渐**增加**。

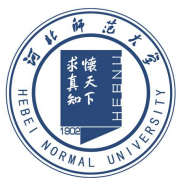


物质密度涨落, 引力导致星云塌缩形成原初星系



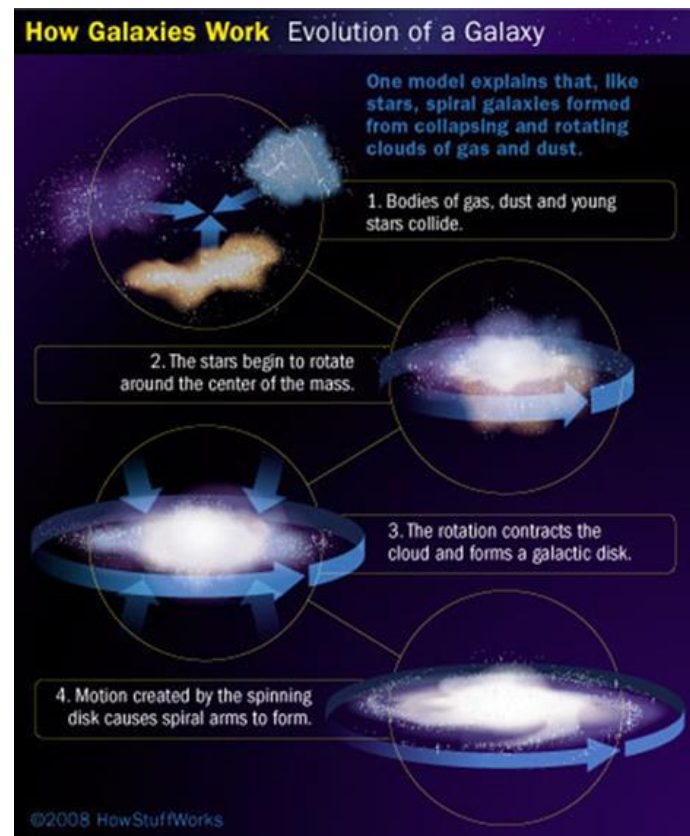
潮汐矩: 不规则团块彼此吸引, 并开始**旋转**

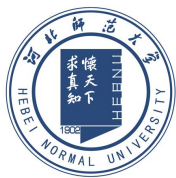




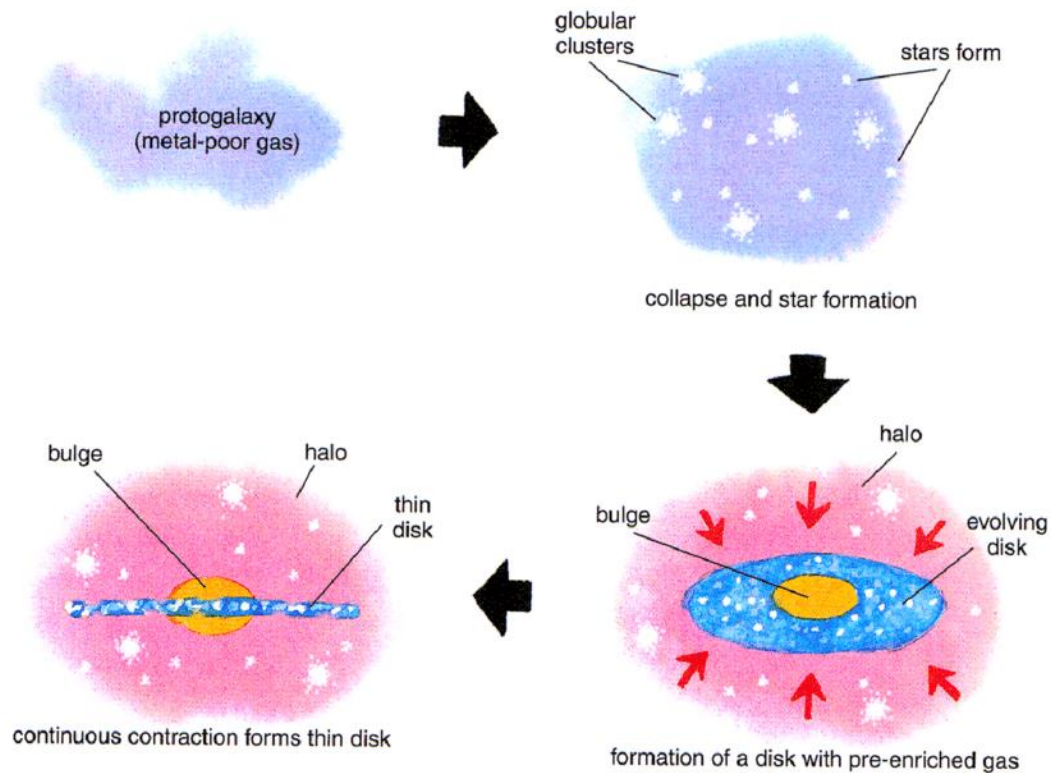
## 4.3.1 银河系形成-塌缩模型

- 宇宙早期引力扰动导致星云塌缩，形成**第一代恒星**：**超新星**爆炸使得**元素增丰**，但金属丰度**很低**
- 贫金属气体云相互运动碰撞，压缩气体，形成球状星团、晕星：**年老**（宇宙早期）、**贫金属**
- 气体云在形成恒星前，还没有向中心下落太远：球状星团和晕星的轨道取向随机；有序转动少
- 气体云坍缩时**角动量**损失缓慢(垂直轴方向)，沿着旋转轴方向下落：形成有序运动**扁平盘**结构
- 气体塌缩时标  $t \sim 1/\sqrt{\rho}$ ：密度较**高**云**快速**形成恒星，超新星爆炸使得气体进一步**增丰**，**厚盘星**
- 厚盘超新星爆发，增丰气体。气体进一步下落，星系逐渐变为扁平状，形成由离心力支撑的**薄盘**
- 薄盘星开始诞生：较早期恒星产生的重元素已使气体增丰，薄盘星**年轻**、**金属丰度高**、**有序运动**





# 银河系形成-塌缩模型



**Eggen、Lynden-Bell & Sandage(ELS, 1962)**

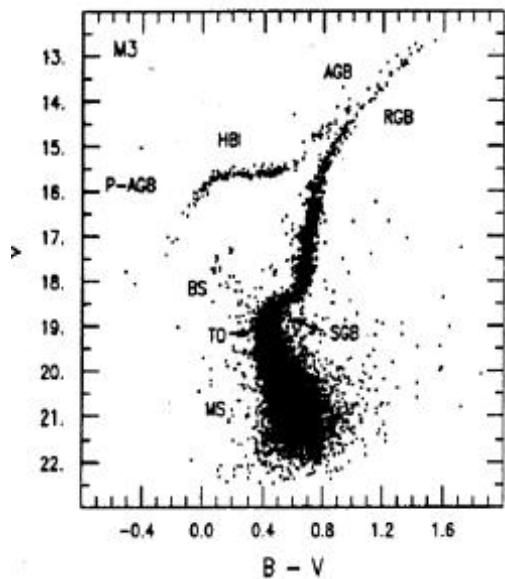


# 核球恒星

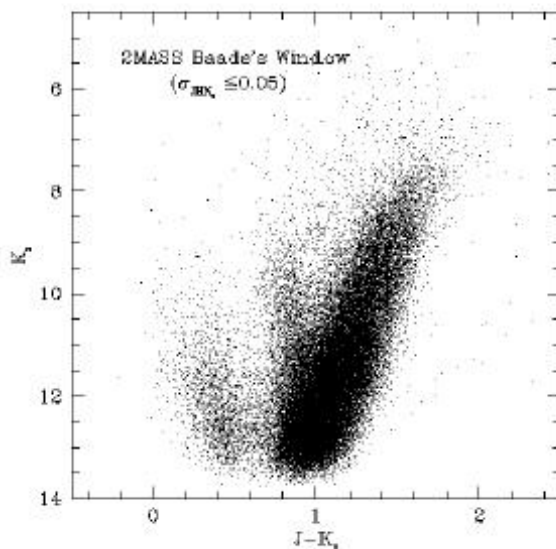
- 银河系**核球区域**的颜色—星等图 (HRD) 显示, 其没有**水平支星**
  - 极少有核球的恒星能够像球状星团中的恒星那么老  $T \sim 13$  Gyr
  - 绝大多数核球恒星的年龄  $T < 8-10$  Gyr, 有些可能更年轻

致密的中央核球一旦形成, 整个银河系的引力束缚其气体:  
俘获超新星增丰的气体, 不断形成大量**富金属**恒星。

球状星团M3

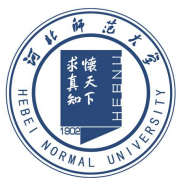


银河系**核球区**CMD



不清楚核球中恒星是如何形成的?

- 形成于星系气体**致密中心**?
- 从星系盘较密的**内区长出**?
- 致密星团遗迹: **动力学摩擦**进入星系中心?



# 星族: Pop I and Pop II

➤ 星族指**年龄、化学组成、空间分布与运动特性**较接近的恒星集合。星族可分为三类:

- 星族I: **年轻恒星**, 形成较晚, **金属丰度高**, 圆轨道。位于银盘、旋臂等区域
- 星族II: **年老恒星**, 形成较早, **金属丰度低**, 随机运动。位于星系晕、核球等区域
- 星族III: 诞生于**宇宙极早期**, **零金属**、大质量的恒星。**没有被发现, 理论预言**。

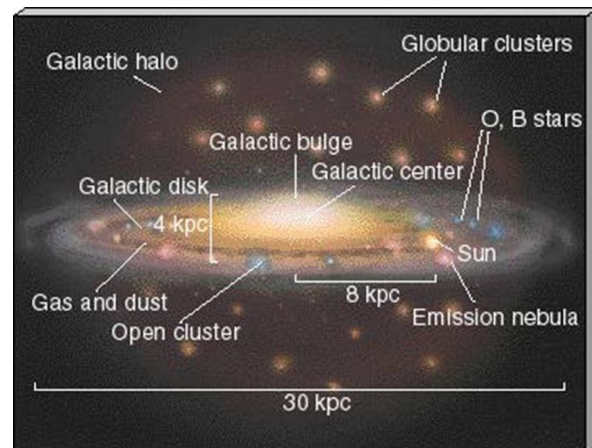
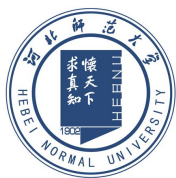


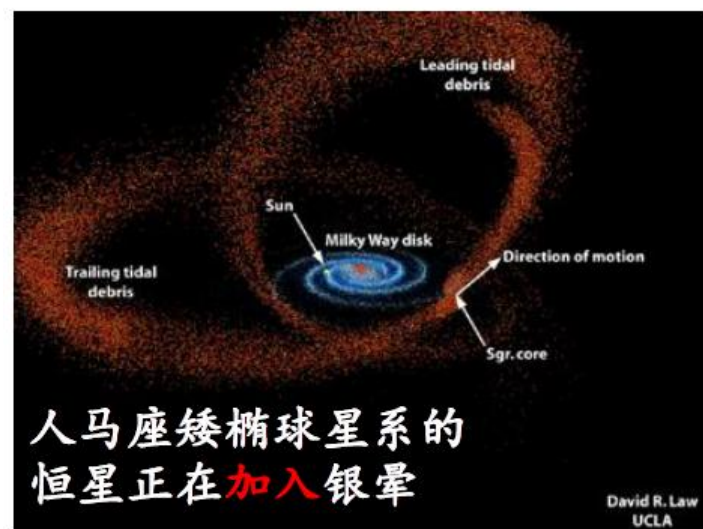
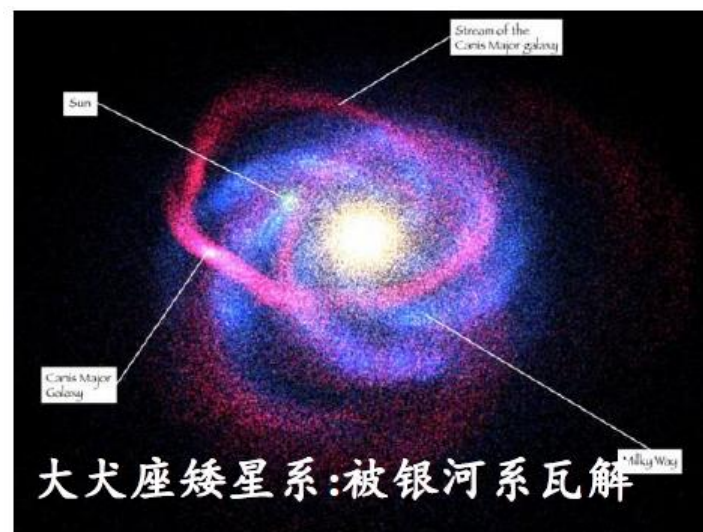
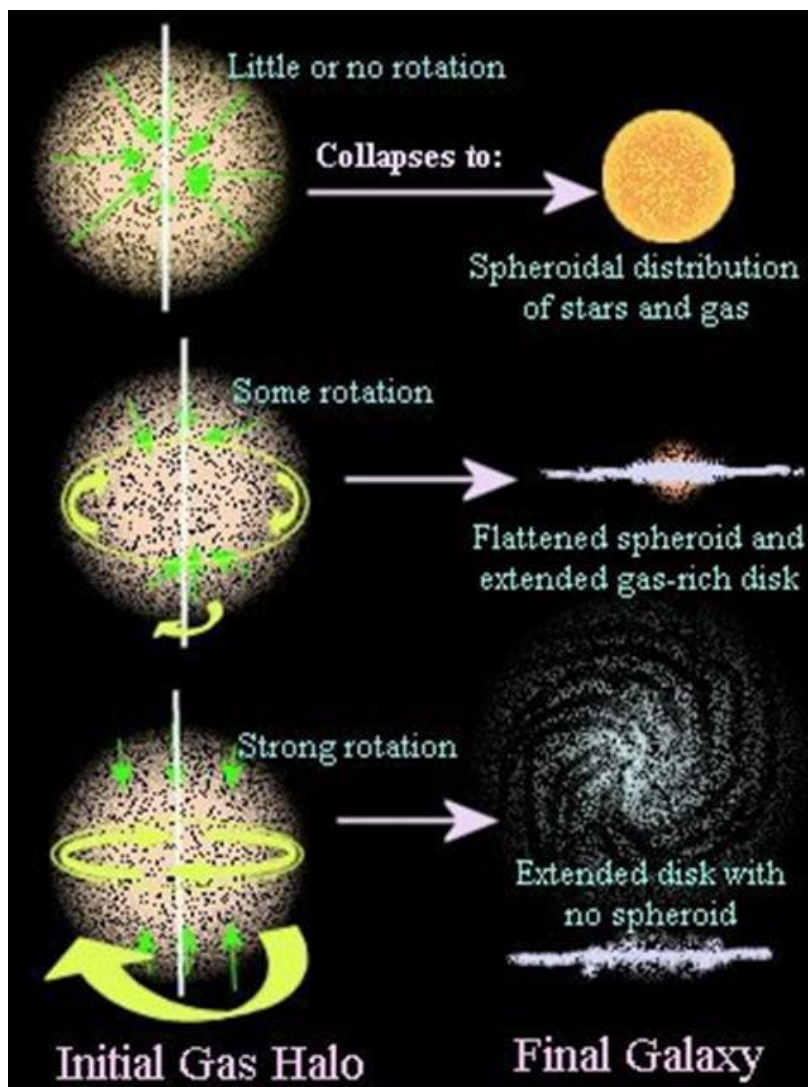
TABLE 15-1  
Stellar Populations

	Population I		Population II	
	<i>Extreme</i>	<i>Intermediate</i>	<i>Intermediate</i>	<i>Extreme</i>
Location	Spiral arms	Disk	Nuclear bulge	Halo
Metals (%)	3	1.6	0.8	Less than 0.8
Shape of orbit	Circular	Slightly elliptical	Moderately elliptical	Highly elliptical
Average age (yr)	100 million and younger	0.2–10 billion	2–10 billion	10–13 billion

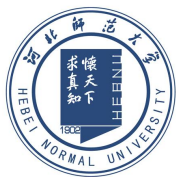
© 2005 Brooks/Cole - Thomson



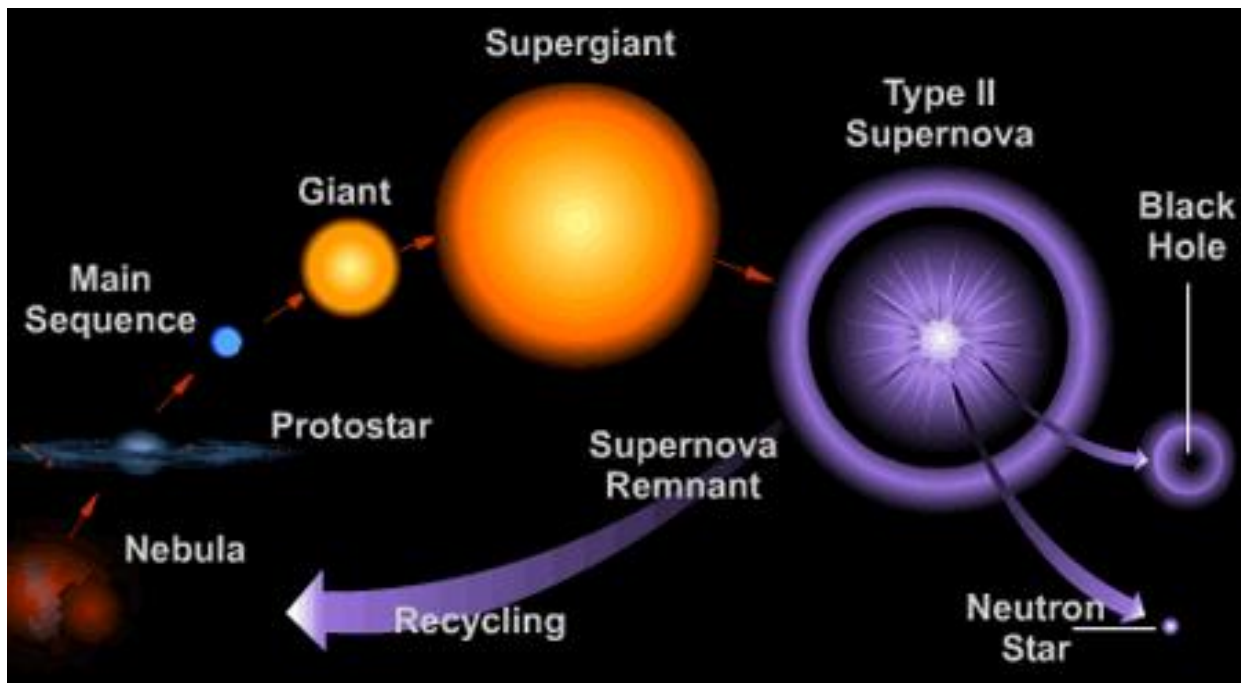
# 银河系-继续构建



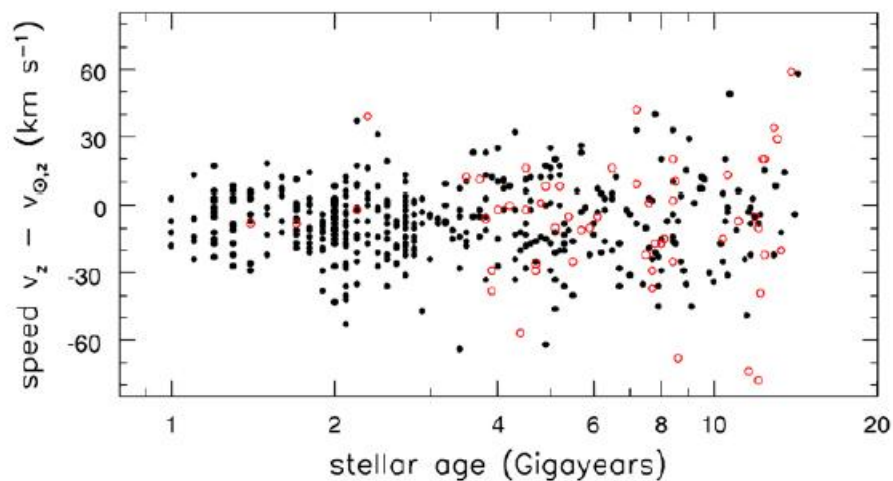




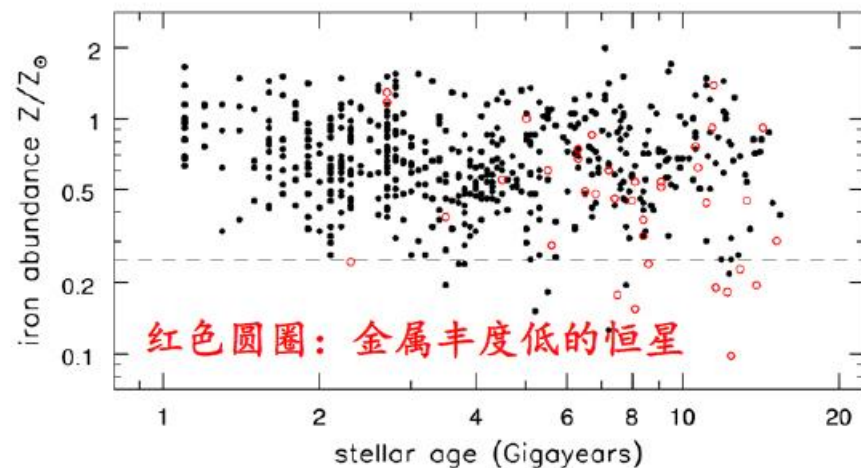
## 4.3.2 重元素的合成



- 原初气体 → 第一代恒星 → 合成重元素 → SN爆炸 → 星际介质丰度增加 → 第二代恒星 → ...
- 恒星燃烧H、He气体，形成重元素：**恒星年龄与金属丰度相关**；较老恒星几乎不含金属，年轻恒星则有较高金属丰度 → **化学演化**

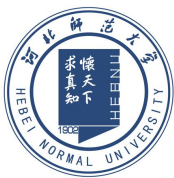


**Fig.2.9** 太阳附近F、G型主序星垂直于盘方向运动：年老恒星运动速度大

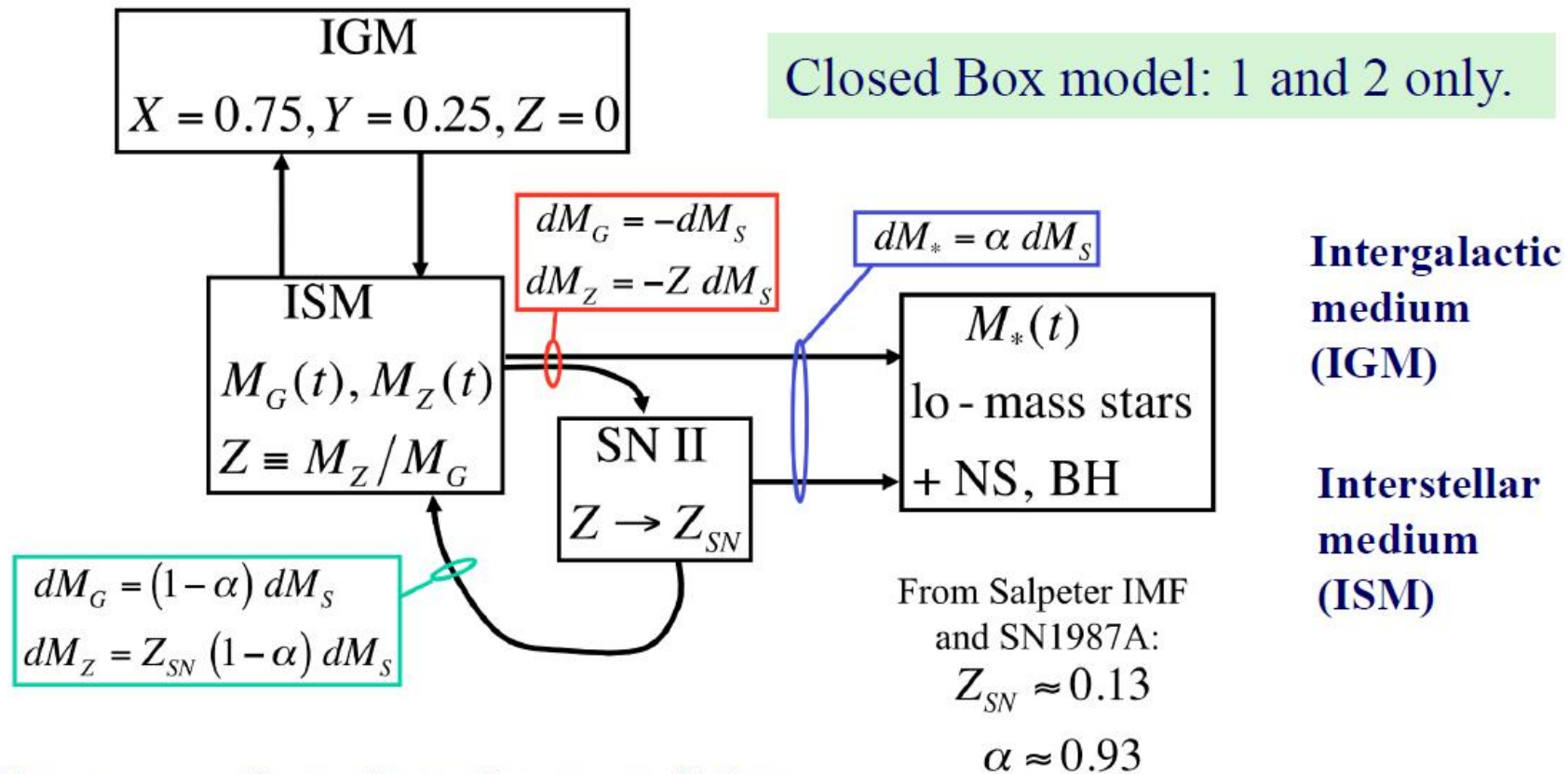


**Fig.4.14** 太阳附近F、G型主序星金属丰度与年龄关系：年老恒星的金属丰度低



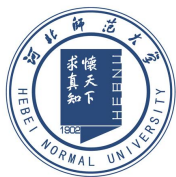


# The Closed Box Model



## Processes that alter the metallicity:

1. Type-II SNe **enrich** the ISM. 2. Low-mass stars form from enriched ISM and “**lock-up**” metals. 3. Primordial gas **falls in** from IGM. 4. ISM **ejected** into IGM. (e.g. SN explosions, galaxy collisions)



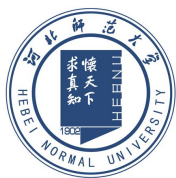
# 单区瞬时循环模型——化学演化

## ➤ 假设:

- 星系的气体充分混合，处处具有相同**化学组成**
- 恒星将它们核聚变的产物**瞬时**返回到星际气体
- 无气体从星系逃离，也无气体流入：**闭区模型**
- 所有**比氦重的元素**，彼此保持完全相同的比例

- $M_g(t)$ : t时刻，星系(ISM)中**气体**的质量；
- $M_*(t)$ : t时刻，小质量**恒星**和**恒星遗迹**质量（被锁定在这些天体中的物质质量）；
- $M_h(t)$ : t时刻，星系气体(ISM)中**比氦重的元素**总质量；
- $Z(t) = M_h(t) / M_g(t)$ , **气体**的金属丰度

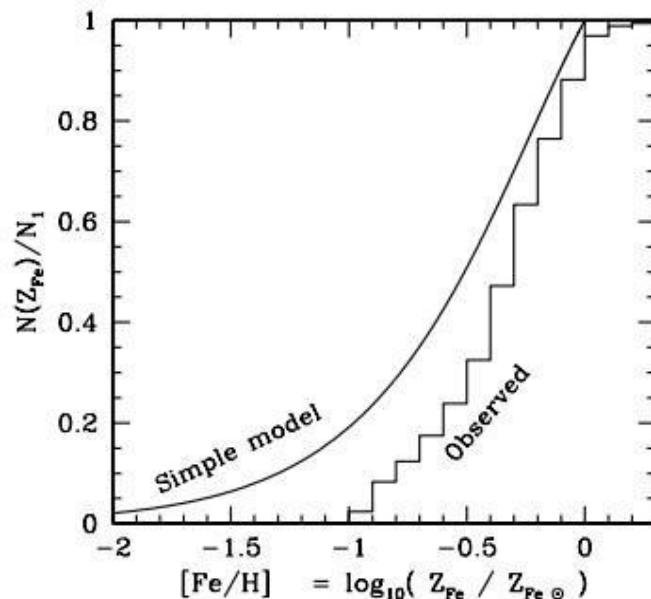
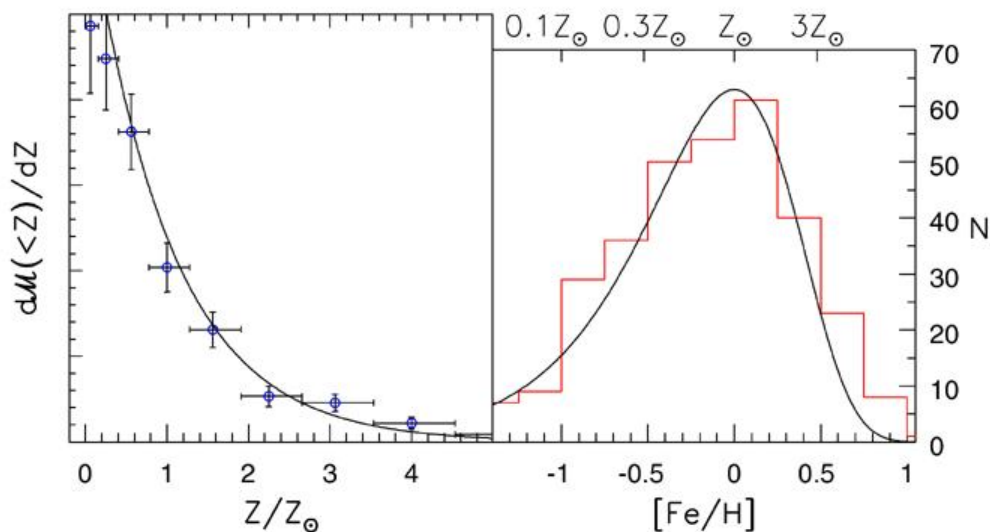
$$\Delta Z \equiv \Delta \left( \frac{\mathcal{M}_h}{\mathcal{M}_g} \right) = \frac{p \Delta \mathcal{M}_* - Z[\Delta \mathcal{M}_* + \Delta \mathcal{M}_g]}{\mathcal{M}_g}$$



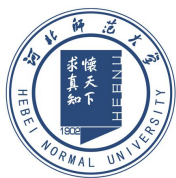
# 模型检验

- 在旋涡星系外盘等**富气**区域，恒星和气体是相对**贫金属**的：与恒星形成相关的**气体密度高**的地方，重元素的平均**丰度低**预言一致
- **银河系核球**中G和K型**巨星**的金属丰度：核球可能成功地留住了所有气体，并完全将其变成了恒星 → 所以观测结果能够与**单区瞬时循环模型**预言复合较好
- 观测太阳邻域132 颗**G 型矮星**样本，发现只有33 颗小于太阳**铁丰度**的25%，并且只有1颗小于太阳**氧丰度**的25%。

对于太阳邻域，闭区模型给出太阳附近局域盘星几乎**一半**有 $Z < Z_{\odot}/4$ 。

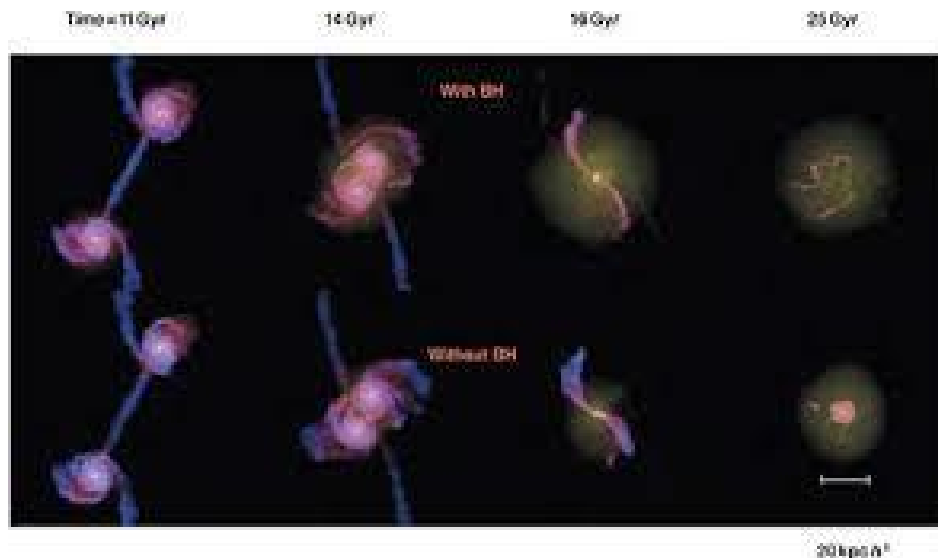


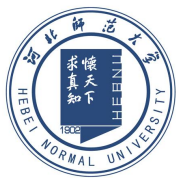




# G-dwarf Problem——解决办法

- 形成恒星的气体金属丰度 $Z(t=0)$ 不等于0:
  - 以前恒星产生的重元素已同形成盘的气体混合，使其‘**预增丰**’
  - 令 $Z(t=0) \approx 0.15 Z_{\odot}$ ，可以近似给出局域金属丰度的观测分布
- 气体外流、内落存在：**闭合假定**不成立
  - 外部贫金属气体的内流，阻止丰度上升得像闭区模型预言的那样快
  - 矮星系或者星团等引力势不足以束缚其中气体，发生外流，带走重元素
  - 外流和内落，导致形成恒星的气体金属丰度不均匀：**瞬时混合**假定不成立





# Models with Inflow and Outflow

In the presence of gas flow, the total mass of the system changes with time according to

$$\frac{dM_{\text{tot}}}{dt} = \mathcal{A}(t) - \mathcal{W}(t), \quad (10.127)$$

where  $\mathcal{A}(t)$  and  $\mathcal{W}(t)$  are the inflow and outflow rates of gas mass, respectively. The equation for the gas mass now becomes

$$\frac{dM_{\text{gas}}}{dt} = -\Psi(t) + \mathcal{E}(t) + \mathcal{A}(t) - \mathcal{W}(t). \quad (10.128)$$

where  $\Psi(t)$  is the star-formation rate of the system, and  $\mathcal{E}(t)$  is the rate at which the stars return mass to the gas phase by stellar winds and supernovae (hereafter called the return rate). If we

Under the assumption of uniform mixing of the gas in the system, the equation for the metallicity is

$$\frac{d(ZM_{\text{gas}})}{dt} = -Z\Psi(t) + \mathcal{E}_Z(t) + Z_A\mathcal{A}(t) - Z(t)\mathcal{W}(t), \quad (10.129)$$

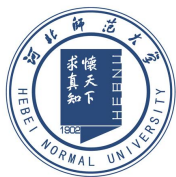
where  $Z_A$  is the metallicity of the inflowing gas. These equations can be solved once  $\mathcal{A}(t)$  and  $\mathcal{W}(t)$  are known.

metal yield,  $y_Z$ .

$$\mathcal{E}(t) = \Psi(t)\mathcal{R},$$

**假定:**  $\mathcal{A}(t) = 0$  and  $\mathcal{W}(t) = \alpha(1 - \mathcal{R})\Psi(t)$   $y_Z/(1 + \alpha)$  is called the effective yield.

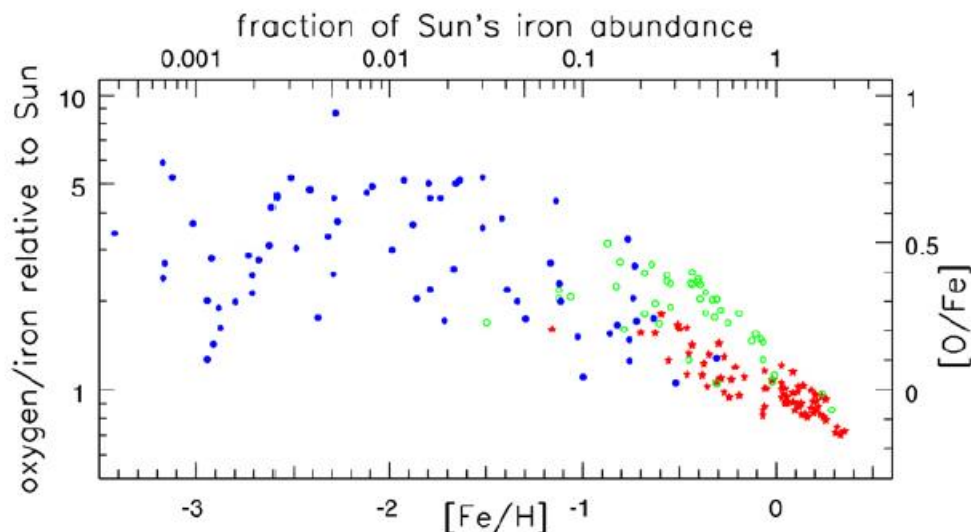
$$Z(t) = Z(0) + \frac{y_Z}{1 + \alpha} \ln \left[ \frac{M_{\text{gas}}(0)}{M_{\text{gas}}(t)} \right] \quad M_*( < Z) = M_{\text{tot}}(t) - M_{\text{gas}}(t) = \frac{M_{\text{tot}}(0)}{1 + \alpha} \left\{ 1 - \exp \left[ -\frac{Z - Z(0)}{y_Z/(1 + \alpha)} \right] \right\}$$



# 贫金属星 $\alpha$ 元素增丰

## ➤ $\alpha$ 元素和Fe元素产生机制不同

- 星际气体中的**铁元素**主要是由**Ia型超新星**爆炸释放到ISM中，发生SN Ia爆炸的恒星为小质量恒星，年龄在1 Gyr或以上
- 星际气体中 **$\alpha$ 元素**主要**II型超新星**爆发时抛到ISM中，II型超新星为大质量恒星产物 ( $T < 100\text{Myr}$ ) : **SN II 的Fe 保留在中子星、黑洞中**
- 贫金属晕星形成的早 ( $t < 1\text{Gyr}$ ) , Ia型超新星还没有开始把铁加入星际气体中:  **$\alpha$ 元素同铁的比 $[\alpha/\text{Fe}]$ 要高于在太阳中的值**



不同金属丰度恒星的**氧元素与铁元素丰度比 $[\text{O}/\text{Fe}]$** : 贫金属星中氧相对于铁更丰富

蓝色点: 银晕中的恒星  
绿色点: 厚盘星  
红色点: 薄盘星



**Time delay of at least  $\sim 10^8$  yr between the onset of Type Ia supernova explosions and that of Type II for a coeval population of stars.**

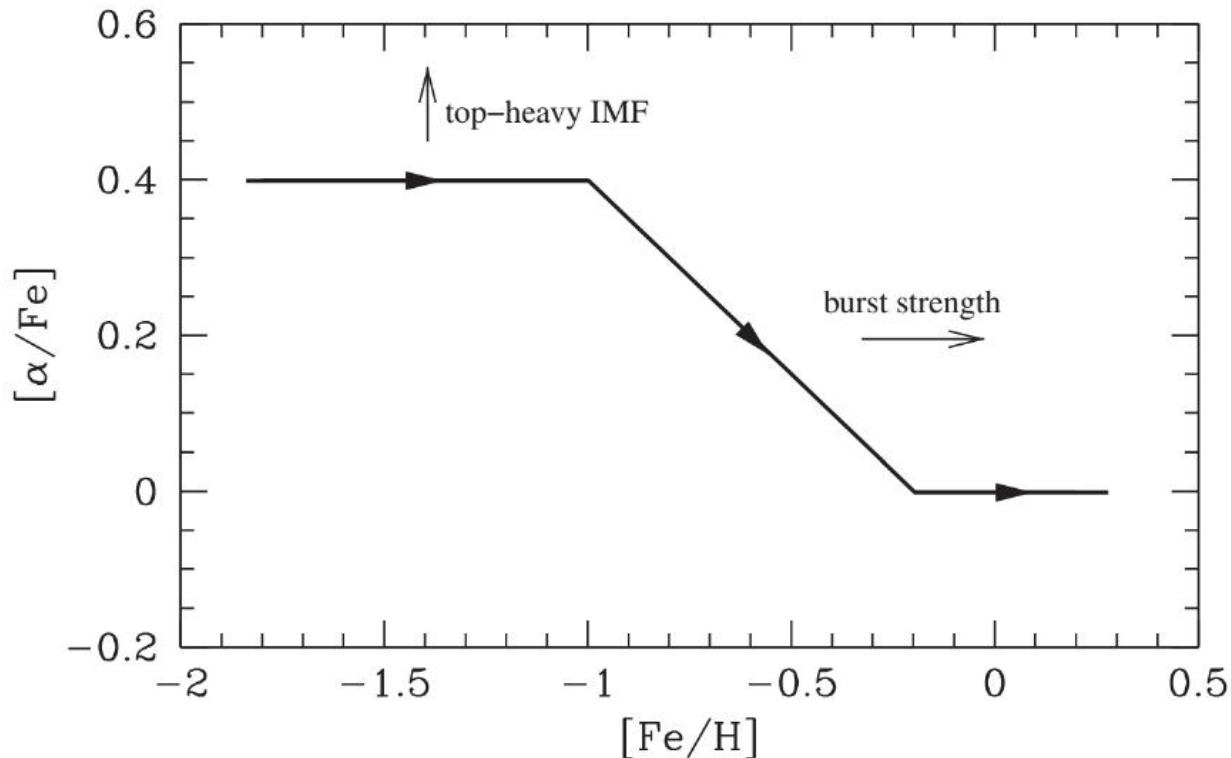
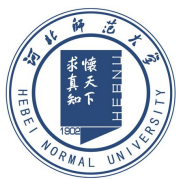
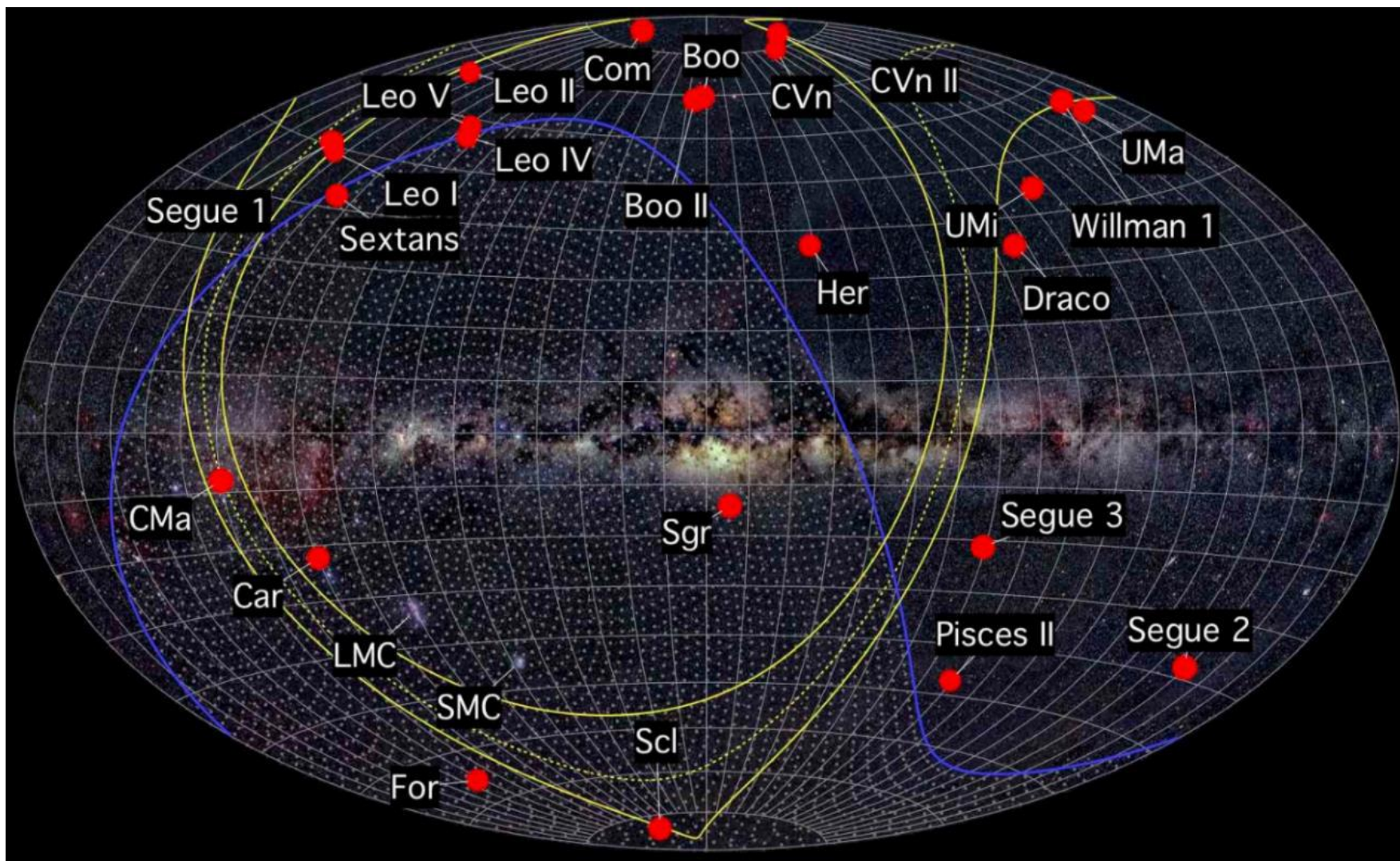
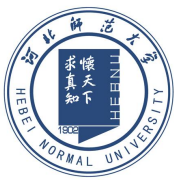


Fig. 10.10. A schematic of the chemical enrichment pattern of the ISM for a single coeval burst of star formation. Time advances along the thick curve as indicated by the arrows. The thin arrows indicate the impact of making the IMF more top-heavy and of increasing the strength of the burst.



## 4.4 本星系群中的矮星系

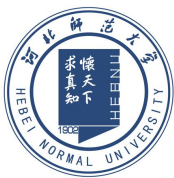




# Distribution of Dwarfs in the LG

- ▶ **Dwarf Ellipticals (dEs)**
  - ▶ concentrated around M31
  - ▶ M32, N147, N205, N185
  - ▶ Little gas, old stellar pops
  - ▶ N147, N185, N205 rotationally supported
- ▶ **Dwarf Irregulars (dIrr, Sdm)**
  - ▶ All over, even at outskirts
  - ▶ Lots of gas (HI), mixed stellar pops
  - ▶ Rotationally supported
- ▶ **Intermediate/Transition**
  - ▶ Some gas, some SF, some with very few old stars
  - ▶ Probably not rotationally supported
- ▶ **Dwarf Spheroidal (dSphs)**
  - ▶ Satellites of MWG, M31
  - ▶ Complex SFH
  - ▶ gas?
  - ▶ Glorified globular clusters, but with dark matter
  - ▶ High  $\sigma/V_{\text{rot}}$





# Why Dwarf Galaxies are so important

## ➤ Dwarfs

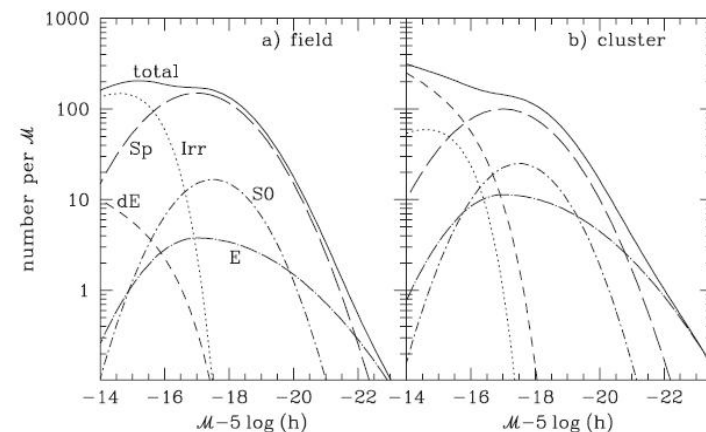
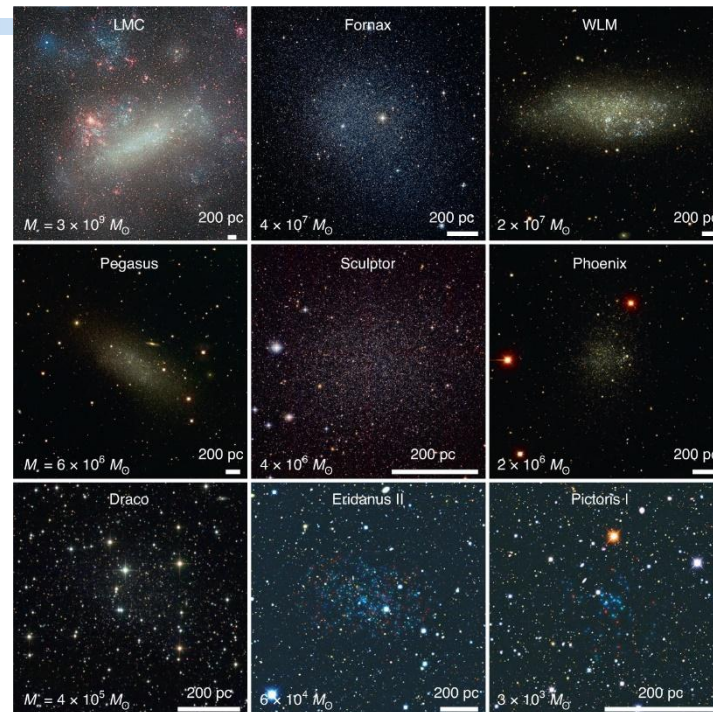
- are **1<sup>st</sup>** to form and the most numerous objects in the **early** Universe;
- dominate **faint galaxy counts** in any deep survey;
- should dominate **local** galaxy luminosity function;
- are the **building blocks** of larger galaxies.

## ➤ But...

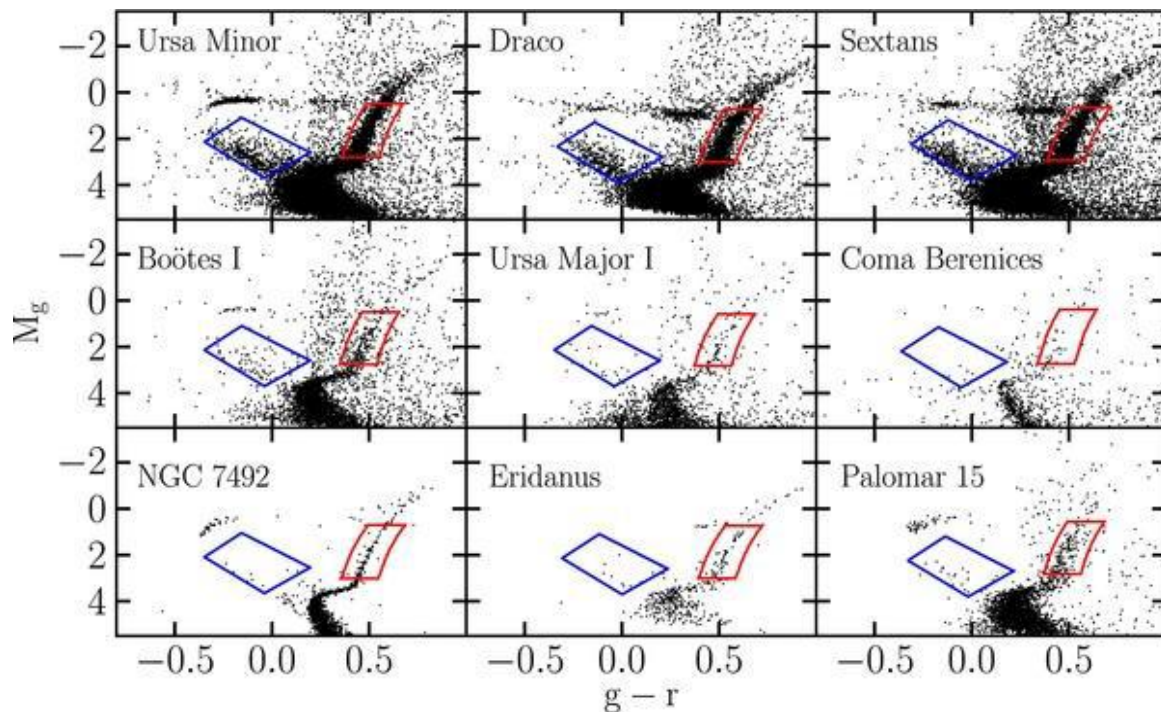
- They do not contain most of the stars and baryonic matter

## ➤ Cold Dark matter halo

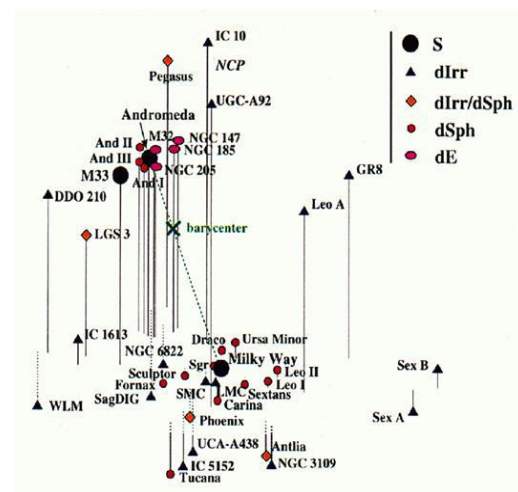
- 1<sup>st</sup> structures are low mass halos
- Larger structures form via hierarchical merging



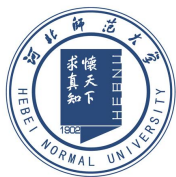
# 矮星系特征



上：经典矮星系；  
中：极暗矮星系；  
下：球状星团

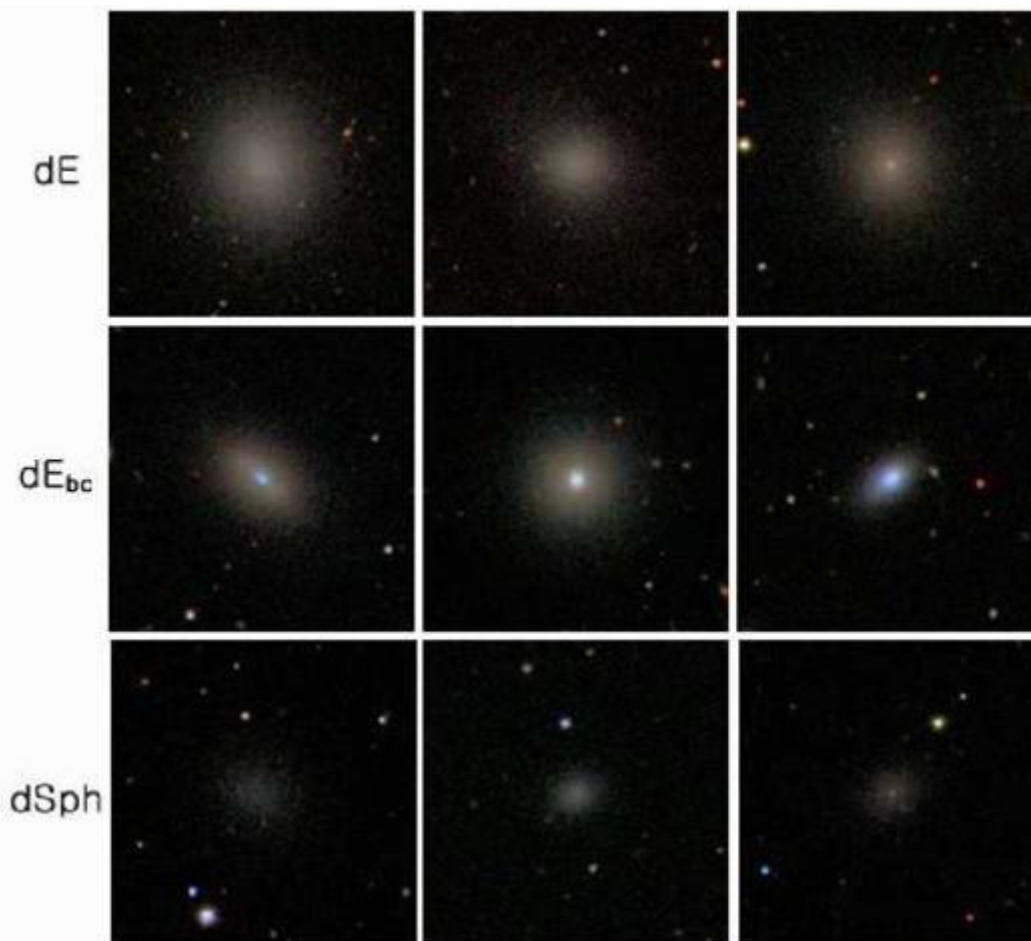


- 本群中所有的矮星系都含有一些**水平支恒星**：水平支恒星的**年龄至少有10 Gyr**，所以矮星系形成其首批恒星是在宇宙历史开始的**2 - 3 Gyr**
- 矮椭圆星系(dE)和矮椭球星系(dSph)基本都是银河系或者M31的**伴星系**；而矮不规则星系(dIrr)大多**都不是**较大系统的伴星系 → **自由飞行者**



## 4.4.1 矮椭圆星系

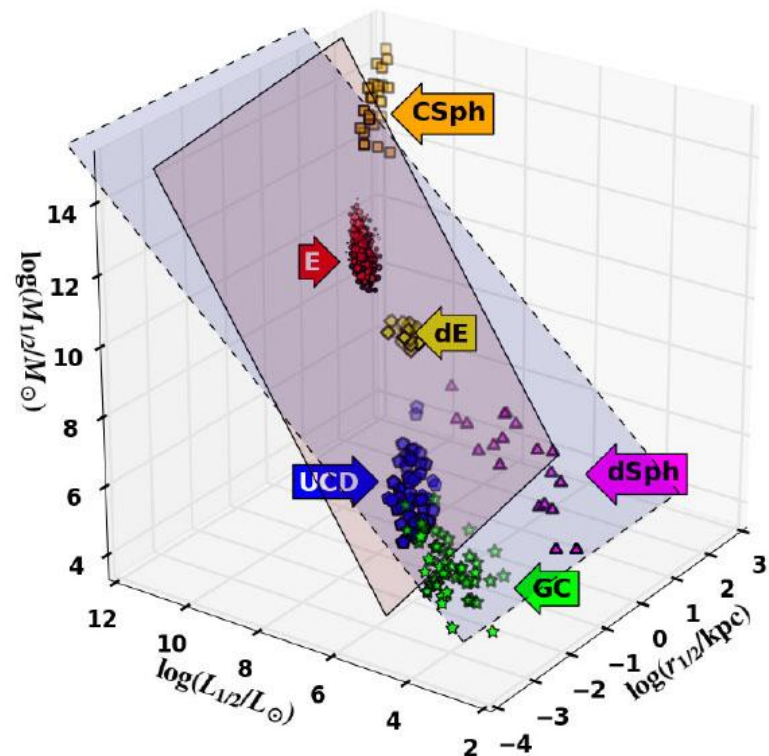
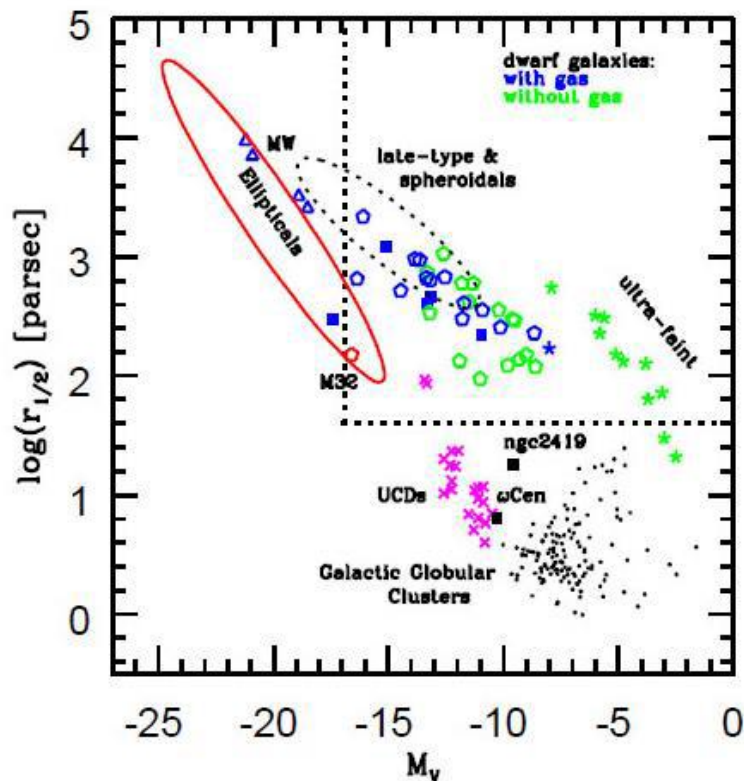
- 相同特性
  - 年老星族、冷气体少、SFR较低
- dE比dSph亮，其光度 $L \geq 3 \times 10^7 L_{\odot}$
- dE尺度类似于dSph，但更亮，恒星密度高
- dE呈现为椭圆形，内部恒星没有显示出有序运动



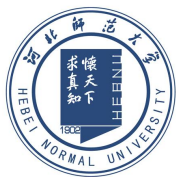


# Dwarf Ellipticals

- Are they just **scaled down versions** of giant ellipticals?
  - Most are dominated by **velocity dispersion**
  - A few are rotating
  - Most lie on the **fundamental plane**

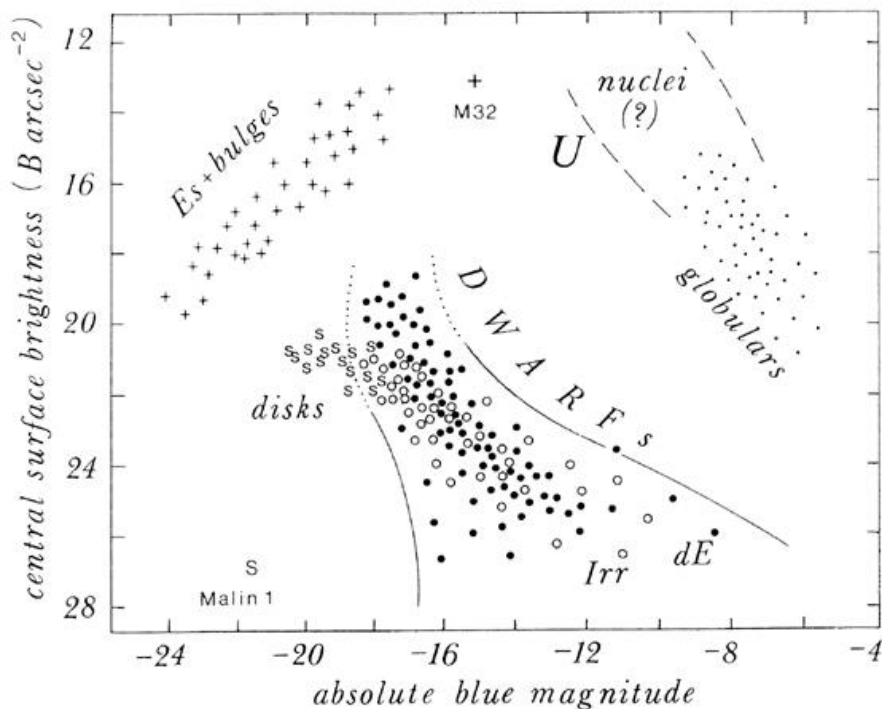




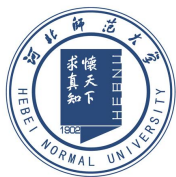


# M32

- M32是M31最亮的伴星系，星族年老、无冷气体
- 光度属于正常dE，但其**密度非常高**：M32是微型版正常或‘巨’椭圆星系
- M32 可能是一个大的旋涡星系的遗迹：**外区被剥离，留下致密核球** (?)
- M32具有大质量星系的典型特征：中心恒星颜色红；**重元素和太阳一样丰富**
- M32 中恒星运动介于银盘(有序) 和银晕星(随机) 之间： **$V/s \sim 1$**  (银盘 $V/s \sim 7$ )

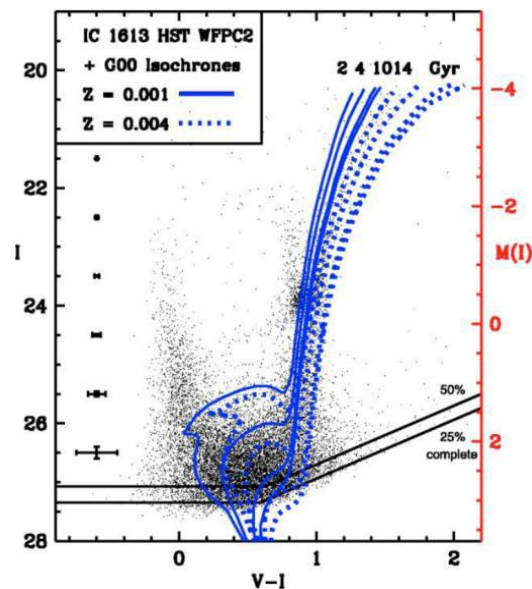
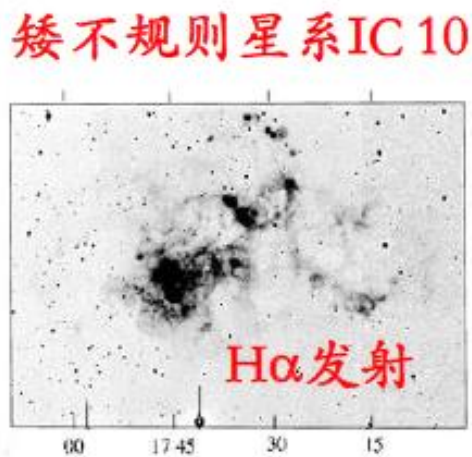
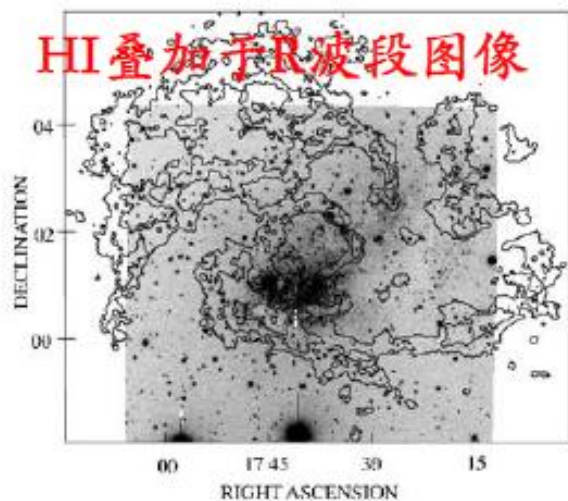


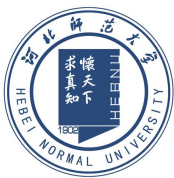
星系在**绝对星等** (V) 与**中心面亮度**关系图上分布。**+**：亮椭圆星系和盘星系的核球；**U**：超致密矮椭圆星系；**实圈**：**dE和dSph**；**空圈**：不规则星系和矮不规则星系。**S**：旋涡星系的盘；**Malin1** 是低面亮度星系。



## 4.4.2 矮不规则星系

- 不规则星系和矮不规则星系光度分界:  $L \sim 10^8 L_{\odot}$
- dIrr与dSph区别:
  - dIrr中存在大量**年轻星族**, 年轻星族使得它们一般比矮椭圆星系亮
  - dIrr含有气体和含有**大量的中性氢气体**, 且气体层延伸超过主星盘
- dIrr与dSph相似:
  - **有序旋转**运动不重要,  $V/\sigma \leq 1$
  - **金属丰度低**, 一般小于太阳丰度的10%。光度越小金属也越贫





# Feedback in Dwarf Galaxies

## ◆ dIrr → dSph演化? 恒星形成星风驱逐气体; 恒星形成消耗气体; 环境剥离气体 (其它星系的引力作用) 等

### ▶ Massive stars deposit energy into ISM

- ▶  $L_W \sim (\text{mass loss rate}) \times (\text{wind-velocity})^2$
- ▶ Create hot bubble ( $R \sim 60\text{-}200\text{ pc}$ )
- ▶ SNe  $\rightarrow 10^{38}\text{ erg s}^{-1} \rightarrow \text{total } E \sim 10^{50}\text{ erg}$ 
  - ▶ Shock heats gas to  $10^6\text{ K}$
  - ▶ Bubble expands at  $10\text{-}100\text{ km s}^{-1}$

### ▶ Dwarfs have “shallow” potentials

- ▶ Low mass  $\rightarrow$  low  $V_{\text{esc}}$  ( $\sim 40\text{ km s}^{-1}$ )

### ▶ Loss of ISM $\rightarrow$ effects Luminosity Function?

- ▶ Enough to hamper future SF?
  - ▶  $M_{\text{gal}} = 10^6 M_{\odot} \rightarrow$  should lose all their ISM
  - ▶ but dSphs have had multiple episodes of SF!

### ▶ Loss of metals

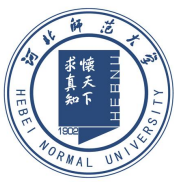
- ▶ Enough to pollute the IGM?
- ▶ Hot gas leaving NGC 1569 is metal rich



### ▶ Inferences on *feedback* in dwarfs:

- ▶ Energy from star-formation preferentially blows out enriched gas local to the clumpy star-formation.
- ▶ Inefficient for blowing out all gas, particularly cold gas.
- ▶  $\rightarrow$  SF is on-going, but metal poor.

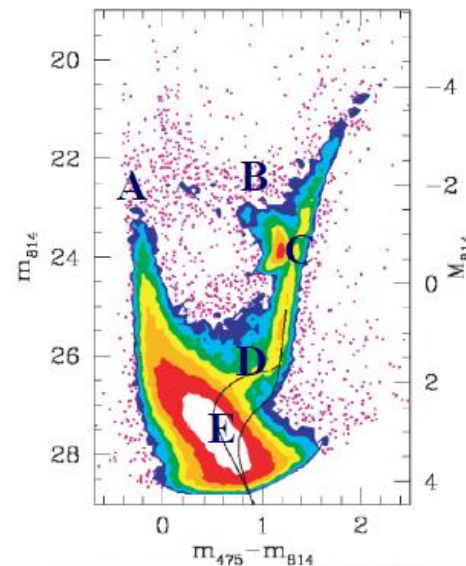
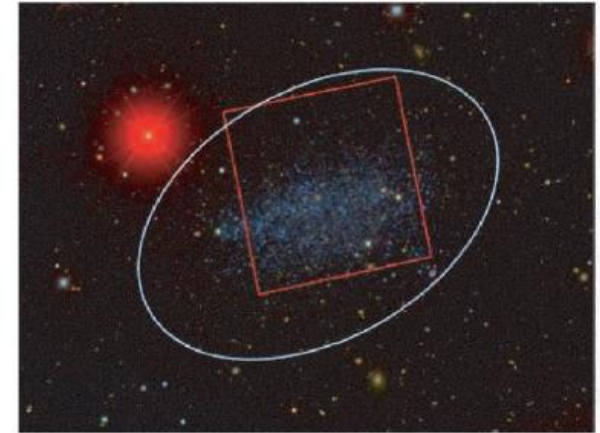




# Resolving Galaxies with HST Imaging: LEO A

GLOBAL PROPERTIES OF LEO A

Quantity	Value	Refs.
Galactic coordinates ( $l$ , $b$ ) (deg) .....	196.9, +52.4	1
Distance modulus $(m - M)_0$ .....	$24.5 \pm 0.1$	2
Reddening $E(B - V)$ .....	0.021	3
Absolute magnitude $M_B^0$ .....	$-11.7 \pm 0.2$	4
$M(\text{H I})$ ( $10^7 M_\odot$ ) .....	$1.1 \pm 0.2$	5
Total mass ( $10^7 M_\odot$ ) .....	$\leq 20$	5
$12 + \log(\text{O}/\text{H})$ .....	$7.38 \pm 0.1$	6
Holmberg semiaxes, $a_H$ , $b_H$ (arcmin) .....	3.5, 2.2	7
Star formation rate ( $M_\odot \text{ yr}^{-1}$ ) .....	$(1-2) \times 10^{-4}$	8, 9



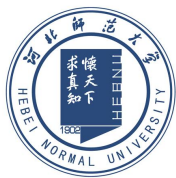
**Young Main Sequence (A) and Blue Loop (B), He-burning stars ( $t > 15 \text{ Myr}$ )**

**Strong red clump (C) - no serious horizontal branch**

**Peak density of subgiants (D), 2-6 Gyr old**

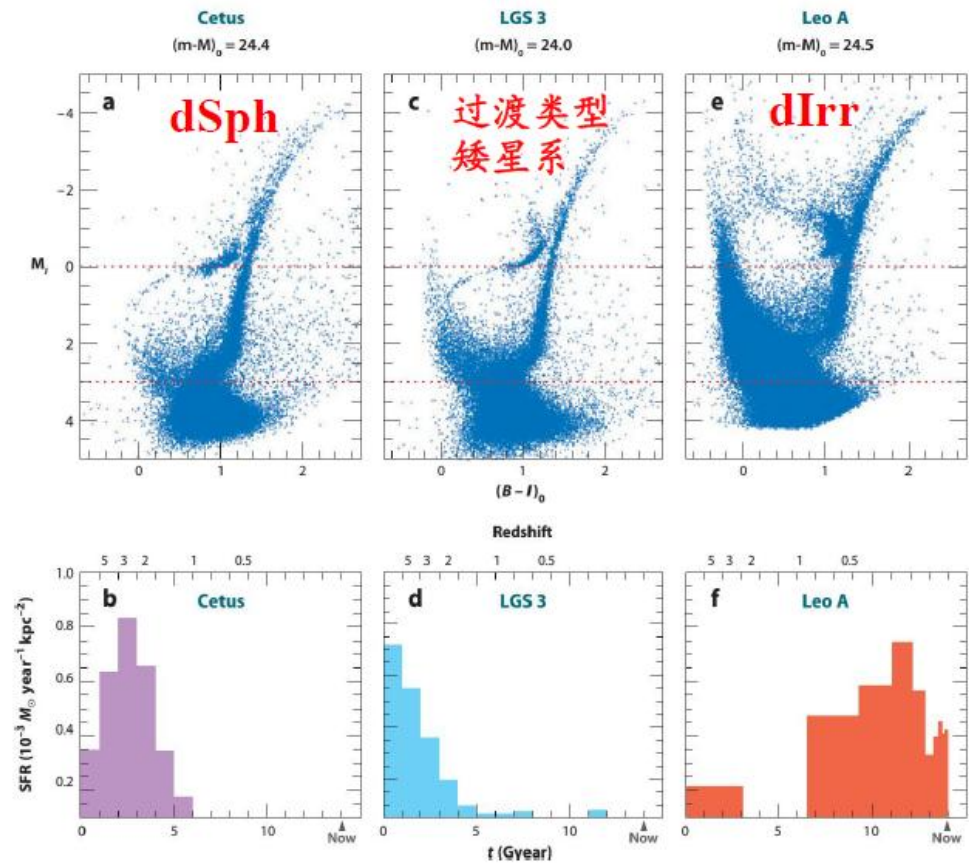
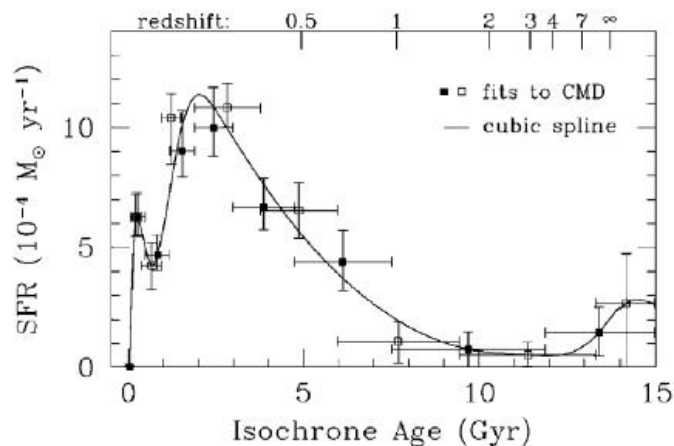
**Oldest Main Sequence, Turnoffs (E), 6-13 Gyr**



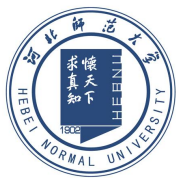


# SFHs Local Group Dwarfs

- ◆ With HST can observe CMD for **individual stars** in local group galaxies
- ◆ Using the techniques discussed earlier can invert this to get the **star formation history**
- ◆ Note 2 extremes: **very old** systems Cetus, **wide range** of SF histories (Leo A)



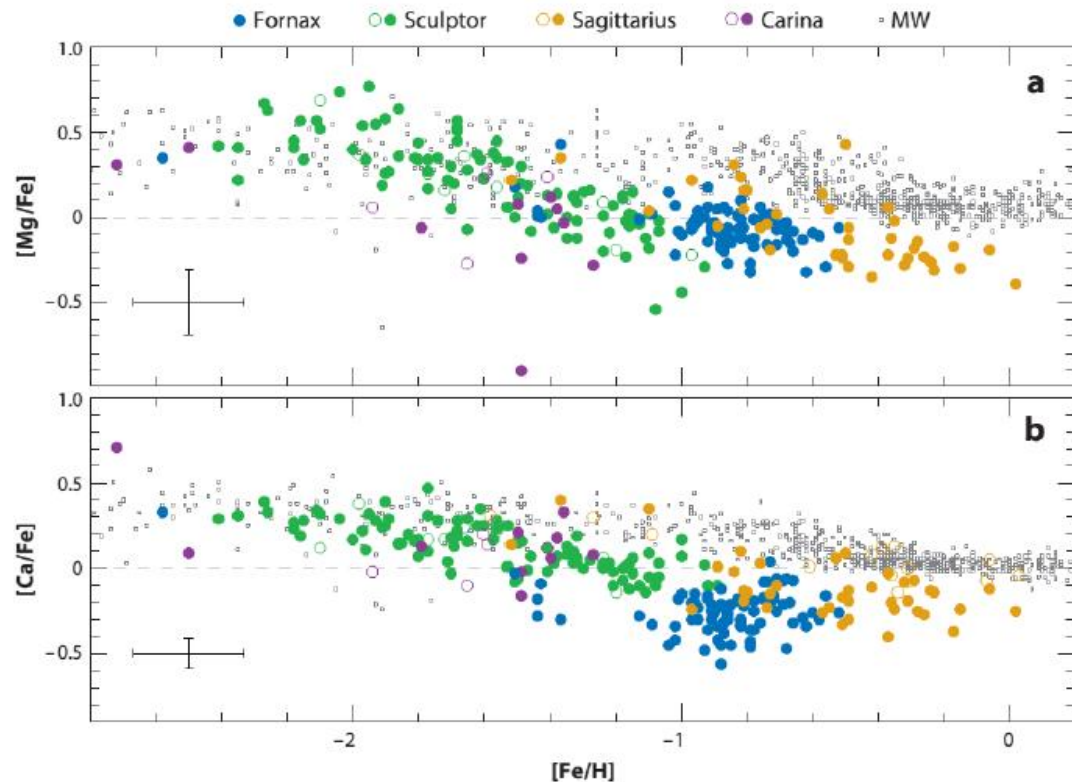
Derived SFH of central Leo A.



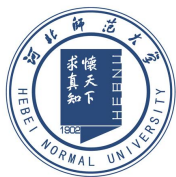
# Metallicities In LG Dwarfs vs. MW

- ◆ Overall metallicity of LG dwarfs is **low** but some patterns:
  - ◆ some similar;
  - ◆ others different to stars in MW (black)

- ◆ How to reconcile their **low observed metallicity** with the fairly **high SFR** of the most metal-poor systems many of which are actively star-forming?



- ◆ Best answer **metal-rich gas outflows**, e.g. galactic winds, triggered by supernova explosions in systems with **shallow potential wells**, efficiently remove the metal-enriched gas from the system.
- ◆ In LG can **wind models** be well constrained by chemical abundance observations.



## 4.5 本星系群的未来

本星系群中的星系**不再**按照哈勃定律，随着宇宙膨胀而相互远离：引力已强到足以将星系群的成员朝向彼此拉回

除了银河系、M31、M33和矮星系等可见物质，本星系群中还存在着大量的**暗物质**

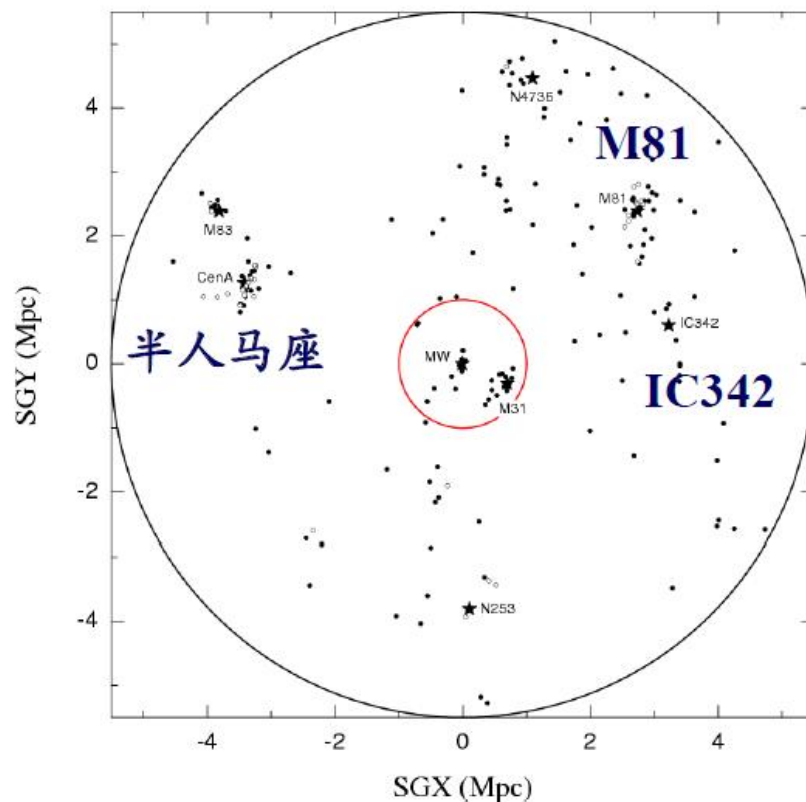
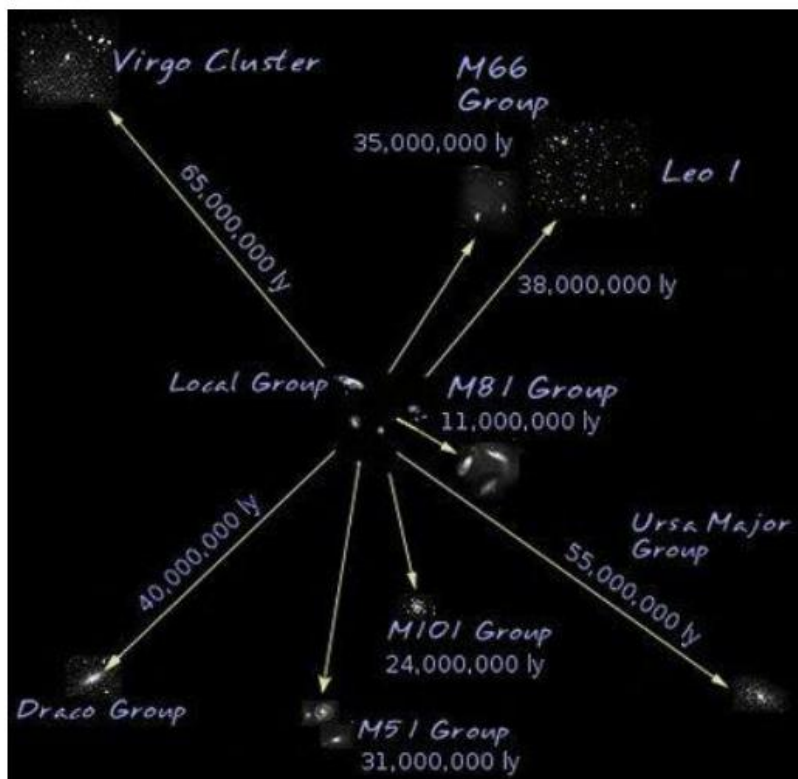
银河系和M31目前正在彼此趋近，可能将在几十亿年内接近、并合，形成椭圆星系：

- 现在：MW和M31以 $v = 110\text{km/s}$ 相互接近
- 20亿年：M31星系接近MW，**盘**显著变大
- 39亿年：引力压缩气体，**恒星形成**已开始
- 40亿年：M31被**拉伸**，MW被显著的**扭曲**
- 51亿年：两个星系的系核心区域显示为**一对**
- 70亿年：两个星系并合完成，**巨椭圆**星系
- 最后可能留下一个**红星系**，几乎没有了气体和年轻恒星





# 本星系群周围



- ◆ NGC5128 (半人马座 A) 位于半人马座星系群，是离我们最近的一个**巨椭圆星系**  $D = 3.8 \text{ Mpc}$
- ◆ NGC1569 位于鹿豹座，IC342星系群，是一个离我们最近的**星暴星系**  $D = 3.4 \text{ Mpc}$
- ◆ UGC 4483 (M81 group) : 最近的**贫金属星系**， $D = 3.4 \text{ Mpc}$
- ◆ Virgo Cluster